

ченные при изучении  $\beta$ -спектра  ${}^3\text{H}$ :  $14 \text{ эВ} < m_\nu < 46 \text{ эВ}$ , нуждаются в дальнейшем подтверждении.

**$\beta$ - $v$ -угловые корреляции** при Б.-р. Для разрешённых переходов угловая корреляция определяется соотношением:

$$W(\theta_{ev}) = 1 + B \left( \frac{v}{c} \right) \cos \theta_{ev}.$$

Для чисто фермиевских ( $0^+ \rightarrow 0^+$ ) или чисто гамов-тэллеровских ( $0^+ \rightarrow 1^+$ ) переходов величина  $B$  зависит только от типа взаимодействия: в случае  $0^+ \rightarrow 0^+$  переходов  $B = -\frac{1}{2}$  для  $V$ -варианта взаимодействия и  $B = -1$  для  $S$ -взаимодействия; в случае  $0^+ \leftrightarrow 1^+$  переходов  $B = -\frac{1}{3}$  и  $+\frac{1}{3}$  для  $A$ - и  $T$ -вариантов. В отличие от  $\beta$ -распада нейтрона, к-рый не является ни чисто фермиевским, ни чисто гамов-тэллеровским переходом ( $\frac{1}{2}^+ \rightarrow \frac{1}{2}^+$ ), Б.-р. ядер даёт возможность получить прямую информацию о типе слабого взаимодействия.

Исследования  $\beta$ - $v$ -корреляции сложны из-за невозможности регистрации нейтрино. Вместо них изучают корреляции  $\beta$ -частица — ядро отдачи. Обычно исследуется энергетич. спектр ядер отдачи, форма к-рого зависит от  $B$ . Например, для  ${}^6\text{He} \rightarrow {}^6\text{Li}$  ( $0^+ \rightarrow 1^+$ ) эксперим. значение  $B = -0,334 \pm 0,003$ , что позволило сделать вывод о том, что гамов-тэллеровские переходы обусловлены  $A$ -взаимодействием.

Величину  $B$  для фермиевских переходов удалось определить в переходе  ${}^{35}\text{Ar} \rightarrow {}^{35}\text{Cl}$  ( $\frac{3}{2}^+ \rightarrow \frac{3}{2}^+$ ), для к-рого гамов-тэллеровский матричный элемент мал:  $\int \sigma \approx 0$ . Полученное значение  $B = 0,97 \pm 0,04$  означает, что фермиевские переходы обусловлены  $V$ -взаимодействием. Исследования  $\beta$ - $v$ -корреляций и формы  $\beta$ -спектров в разрешённых переходах позволили получить ограничения на константы скалярного и тензорного взаимодействий:  $C_S/C_V = -0,001 \pm 0,006$ ;  $C_T/C_A = -0,0004 \pm 0,003$ .

*Лит.*: 1) Lee T. D., Yang C. N., Question of parity conservation in weak interactions, «Phys. Rev.», 1956, v. 104, p. 254; 2) Wu C. S. и др., Experimental test of parity conservation in beta decay, «Phys. Rev.», 1957, v. 105, p. 1413; 3) Fermi E., Versuch einer Theorie der  $\beta$ -Strahlen, «Z. Phys.», 1934, Bd. 88, S. 161; 4) Feynman R. P., Gell-Mann M., Theory of the Fermi interaction, «Phys. Rev.», 1958, v. 109, p. 193; 5) Ву Ч. С., Мощковский С. А., Бета-распад, пер. с англ., М., 1970; 6) Гапонов Ю. В., Полный опыт  $\beta$ -распада, «УФН», 1970, т. 102, с. 211; 7) Альфа-, бета- и гамма-спектроскопия, пер. с англ., в. 4, М., 1969; 8) Влияние Стоял Р., Фундаментальные взаимодействия и атомное ядро, пер. с англ., М., 1976; 9) Дженелепов В. С., Зарянюк А. Л., Влияние электрического поля атома на бета-распад, М.—Л., 1956. Е. Х. Ахмедов.

**БЕТА-РАСПАД НЕЙТРОНА** — спонтанное превращение свободного нейтрона в протон, электрон и антинейтрино, вызываемое **слабым взаимодействием**:  $n \rightarrow p + e^- + \bar{\nu}$ .

**Период полураспада свободного нейтрона.** Впервые экспериментально обнаружили Б.-р. н. и получили оценки периода его полураспада  $T_{1/2}$  почти одновременно (1948—50) и независимо друг от друга А. Снелл (A. I. Snell) (Ок-Ридж, США), Г. Робсон (J. Robson) (Чох-Ривер, Канада) и И. Е. Сливак (ИАЭ). Всего выполнено  $> 15$  измерений  $T_{1/2}$  нейтрона. Наиб. точные данные получены в работе К. Кристенсена (C. Christensen) с сотрудниками (1970) ( $T_{1/2} = 10,61 \pm 0,16$  мин), группы Сливака (1978,  $T_{1/2} = 10,18 \pm 0,10$  мин) и Г. Бирна (1980,  $T_{1/2} = 10,82 \pm 0,21$  мин).

Для определения  $T_{1/2}$  нейтрона производились 2 независимых абр. измерения: определялось число актов распада нейтронов в заданной области коллимированного пучка тепловых нейтронов и измерялось число нейтронов, находящихся в этой области. При этом регистрировались либо электроны (Кристенсен), либо протоны распада (Сливак, Бирн), диапазон энергий к-рых 0—800 эВ. В работе Сливака они регистрировались спец. низкофоновым пропорциональным счётчиком, на входное окошко к-рого протоны попадали, пройдя через

огранич. диафрагмы и ускорившись до энергии 25 кэВ в сферич. фокусирующем поле (рис. 1). Число нейтронов в области распада определялось по абр. активности  $\text{Au}$ , облучённого в том же месте цептронного пучка.

**Энергетич. спектр электронов** был измерен в работах Робсона и Кристенсена (1972). За исключением

К вакуумным насосам

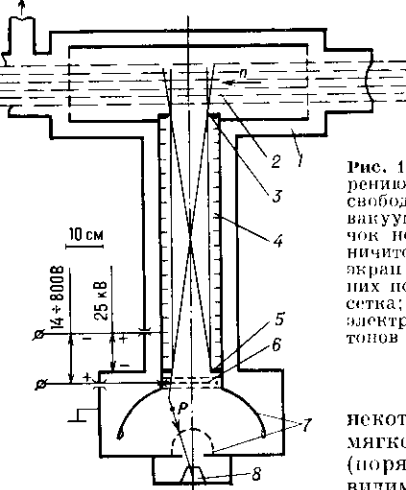


Рис. 1. Схема опыта по измерению периода полураспада свободного нейтрона: 1 — вакуумная камера; 2 — пучок нейтронов; 3, 5 — ограничительные диафрагмы; 4 — экран (окраинка внешних полей); 6 — тормозящая сетка; 7 — фокусирующие электроды; 8 — детектор протонов (пропорциональный счётчик).

некоторых отклонений в мягкой области энергий (порядка 250 кэВ, по-видимому, обусловленных ошибками измерений) в целом  $\beta$ -спектр хорошо согласуется с формулой Ферми для разрешённых  $\beta$ -переходов (см. *Бета-распад ядер*):

$$N(\mathcal{E}) = (\mathcal{E}_0 - \mathcal{E})^2 (\mathcal{E} - 1) \sqrt{\mathcal{E}^2 - 2\mathcal{E}}. \quad (1)$$

Здесь  $\mathcal{E}$  — энергия электрона,  $\mathcal{E}_0$  — граничная энергия спектра (рис. 2). Эксперимент даёт  $\mathcal{E}_0 \approx 782 \pm 13$  кэВ, что находится в согласии с теоретич. значением, к-рое следует из данных о массах нейтрона, атома водорода:  $E_{\text{теор}} = 782,318 \pm 0,017$  кэВ.

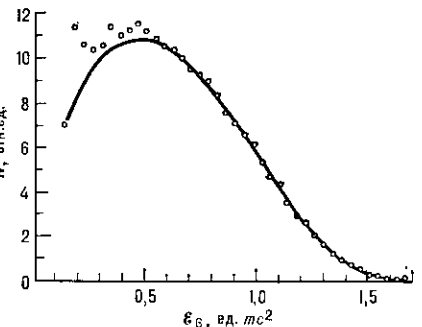


Рис. 2. Бета-спектр распада свободного нейтрона; сплошная линия — теоретическая кривая; кружки соответствуют экспериментальным значениям с учётом энергетического разрешения спектрометра.

**Угловые корреляции продуктов распада.** Импульсы 3 частиц, образующихся при Б.-р. н., связаны друг с другом законом сохранения, и потому с учётом спина распадающегося нейтрона теоретически возможны только 4 независимые угловые корреляции. Вероятность распада свободного нейтрона в единицу времени может быть записана в виде:

$$W(\mathcal{E}, p_e, p_{\bar{\nu}}) = F(\mathcal{E}) \left\{ 1 + a \frac{v}{c} (p_e p_{\bar{\nu}}) + A \frac{v}{c} (\sigma, p_e) + B \left( \sigma p_{\bar{\nu}} \right) + D \frac{v}{c} \sigma [p_e p_{\bar{\nu}}] \right\}. \quad (2)$$

Здесь  $F(\mathcal{E})$  — форма  $\beta$ -спектра,  $v$  — скорость электрона,  $p_e, p_{\bar{\nu}}$  — единичные векторы направлений вылета электрона и антинейтрино,  $a$  — константа связи между направлениями вылета антинейтрино и электро-